

Список литературы

- [1] Zangvil A., Ruh R. // J. Amer. Ceram. Soc. 1988. V. 17. N 10. P. 884-890.
- [2] Нурмагомедов Ш.А., Пихтин А.Н. и др. // Письма в ЖТФ. 1986. Т. 12. В. 17. С. 1043-1045.
- [3] Нурмагомедов Ш.А., Пихтин А.Н. и др. // ФТП. 1989. Т. 23. В. 1. С. 162-164.
- [4] Сафаралиев Г.К. В кн.: Широкозонные полупроводники. Махачкала, 1988. С. 34-44.
- [5] Дмитриев В.А., Иванов П.А. и др. // Письма в ЖТФ. 1985. Т. 11. В. 4. С. 238-241.
- [6] Hall P.M., Moraibito J.M. // Surf. Sci. 1979. V. 83. P. 391.
- [7] Davis L.E., Mac Donald N.C. et al. // Handbook of Auger Electron Spectroscopy. 2nd ed.

Поступило в Редакцию
7 февраля 1991 г.

Письма в ЖТФ, том 17, вып. 6

26 марта 1991 г.

05.1; 10

© 1991

УГОЛОВЫЕ РАСПРЕДЕЛЕНИЯ ПРОТОНОВ,
ПРОШЕДШИХ ТОНКИЕ МОНОКРИСТАЛЛЫ КРЕМНИЯ

В.И. Сорока, М.В. Арцимович,
И.Ф. Могильник

Угловые распределения канализированных ионов, прошедших тонкие монокристаллические мишени, проявляют очень сложную зависимость от многих взаимосвязанных параметров. В данном эксперименте выделяется один из них, угол наклона пучка по отношению к определенному кристаллографическому направлению. Измерения зависимости угловых распределений от этого параметра, кроме общего интереса к исследованию динамики прохождения, имеют частный, практический интерес, а именно в связи с обсуждением в работе [1] возможности самофокусировки пучка частиц в кристалле. Эффект самофокусировки получается из анализа рассеяния частиц неканализированной фракции, падающих на кристалл под углами от одного до нескольких критических углов канализования, и сводится к тому, что для толщин кристалла, меньших длины деканализирования, угловая плотность частиц после кристалла может быть повышена из-за „пленения” рассеянных частиц в канал.

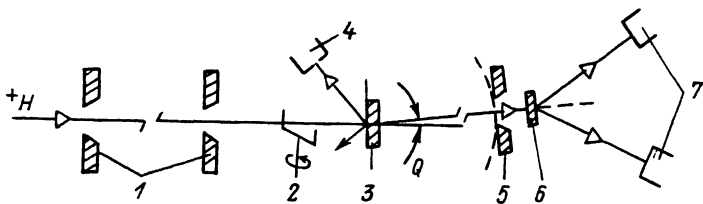


Рис. 1. Схема эксперимента: 1 – коллиматор пучка частиц из ускорителя, 2 – монитор–прерыватель, 3 – трехосный гониометр с исследуемой мишенью, 4 – детектор обратного рассеяния, 5 – коллиматор второй мишени, 6 – вторая мишень, 7 – детекторы.

В методическом отношении настоящая работа имеет ту особенность, что при измерении профиля, как прямого пучка из ускорителя, так и прошедшего мишеней, используется дополнительное рассеяние на тонкой, однородной, аморфной мишени под одним из передних углов. Это позволяет, не меняя режимов работы ускорителя и проводки пучка, измерять с высоким угловым разрешением распределения больших потоков частиц, в то время как детектирующая система не испытывает перегрузок и работает в обычном режиме. Схема эксперимента показана на рис. 1.

Ограничимся перечислением основных технических условий эксперимента: углового расхождения коллимированного пучка из ускорителя – 0.24 мрад, углового расхождения анализируемого пучка после прохождения исследуемой мишени – 0.37 мрад, размера пучка на первой и второй мишенях – 0.25 мм; вторая мишень – никель, $2.24 \text{ мг}/\text{см}^2$; заряда, переносимого пучком на мишень за время экспонирования, соответствующее каждой точке угловых распределений – 0.5 мкКл.

Измерения выполнены на пучке протонов с энергией 3 МэВ. В качестве исследуемых использованы самоподдерживающиеся монокристаллы кремния толщиной 2.7 мкм и 4.8 мкм с выведенной поверхностью (111). Толщины мишеней измерены в процессе эксперимента по спектрам обратного рассеяния. Следует отметить, что и энергия протонов, и толщины мишеней выбраны такими, чтобы приблизительно удовлетворить критерию

$$N\sigma(\psi_k)x \leq 1,$$

где $\sigma(\psi_k)$ – сечение рассеяния на углы $\geq \psi_k$, N – концентрация ядер, x – толщина мишени, ψ_k – критический угол канализации. Для этих толщин рассеяние на углы $\geq \psi_k$ является фактически однократным.

На рис. 2, а показаны угловые распределения протонов после прохождения мишени 4.8 мкм, измеренные в плоскости, нормальной к плоскостному каналу (111). Распределения получены для

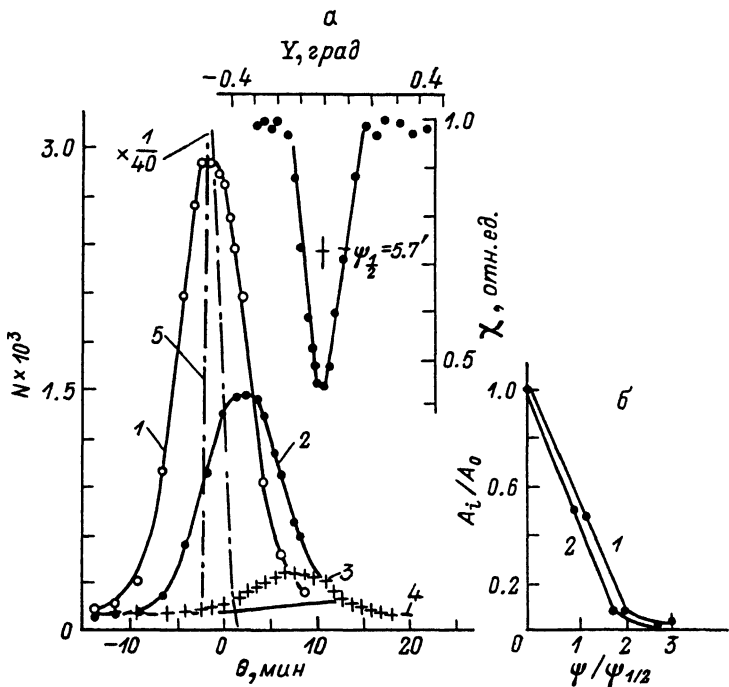


Рис. 2. а - угловые распределения протонов, прошедших 4.8-микрометровую кремниевую мишень для углов ориентации: 1 - $\psi = 0$, 2 - $\psi = \psi_{1/2}$, 3 - $\psi = 2\psi_{1/2}$, 4 - $\psi = 3\psi_{1/2}$, 5 - профиль пучка без мишени; б - изменение вероятности захвата протонов в канале (111): 1 - мишень 2.7 мкм, 2 - мишень 4.8 мкм.

протонов, падающих на кристалл под углами наклона к плоскости (111), приблизительно равными \$0, \psi_{1/2}, 2\psi_{1/2}, 3\psi_{1/2}\$. Угол $\psi_{1/2} (\approx \psi_K)$ половинный угол плоскостного канализирования (см. вставку на рис. 2, а). На рисунке показан также профиль прямого пучка из ускорителя. Нормировка везде - к отсчетам монитора-прерывателя. Из рис. 2, а видно, что вплоть до углов наклона $3\psi_{1/2}$ в угловых распределениях прошедших протонов наблюдаются пики, положения которых коррелируют с углами наклона.

Изменение вероятности захвата протонов в канал в зависимости от угла наклона пучка к каналу (111) показано на рис. 2, б для мишеней двух толщин. По оси ординат отложено отношение A_i/A_0 , где A_i - площади под пиками (см. рис. 2, а) для $\psi = \psi_{1/2}, 2\psi_{1/2}, 3\psi_{1/2}$ и A_0 для $\psi = 0$.

Таким образом, полученные результаты не противоречат предположению о возможности самофокусировки пучка частиц в кристалле.

ле и могут быть использованы для уточнения величины ожидаемого эффекта. Следует однако обратить внимание, что интенсивность в максимуме распределения прямого пучка из ускорителя приблизительно в 40 раз выше интенсивности канализированного вдоль (111)

Список литературы

- [1] Кумахов М.А. // Письма в ЖТФ. 1988. Т. 14. В. 3.
С. 250-252.

Поступило в Редакцию
25 июля 1990 г.

Письма в ЖТФ, том 17, вып. 6

26 марта 1991 г.

06.3; 07

© 1991

СТАБИЛИЗАЦИЯ ИЗЛУЧЕНИЯ ПРИ НАРАБОТКЕ ЗАРОЩЕННОГО $InGaAsSb - GaSb$ ГЕТЕРОЛАЗЕРА ($\lambda = 2$ мкм)

А. А брагам, Э. Гулициус,
Т.Н. Данилова, Б.Е. Джуртанов,
А.Н. Именков, Ю.П. Яковлев

В последнее время интенсивно разрабатываются $InGaAsSb - GaSb$ гетеролазеры [1-4], излучающие в диапазоне длин волн 1.8-2.5 мкм. Однако не сообщалось об исследовании изменения их свойств в процессе наработки.

Целью данной работы было излучение изменения интенсивности излучения и диаграммы направленности $InGaAsSb - GaSb$ зарощенных гетеролазеров, излучающих на длине волны 2 мкм при комнатной температуре.

Лазерная структура выращивалась методом жидкофазной эпитаксии [5] на подложках п- $GaSb$ ($n=6 \cdot 10^{17} \text{ см}^{-3}$), покрытых предварительно эпитаксиальным слоем полуизолирующего р- $GaSb$ толщиной 2 мкм с выгравленными в нем канавами шириной 8 мкм. В сдвиговой кассете последовательно выращивались слои, показанные на рис. 1. Р-п переход располагался на границе эмиттерного слоя р- $GaSb$ и активной узкозонной области п- $InGaAsSb$, легированной Te ($n=2 \cdot 10^{17} \text{ см}^{-3}$). Из лазерных структур были изготовлены лазеры с омическими контактами по всей площади и длиной резонатора 100-700 мкм. Лазеры генерировали когерентное излучение на длине волны 2 мкм при комнатной температуре.